

## 金山ダム水理模型実験 [I]

— 水叩き形状に関する実験について —

正員 開発局土木試験所 古谷 浩三  
 正員 同上 内山 博  
 同上 広田 郁男

## I. 緒 言

本文は石狩川治水事務所の依頼により、開発局土木試験所水工研究室において昭和34年8月より10月迄に行なつたものである。

本計画は国鉄根室本線金山駅より空知川沿いに上流約3.5 km の地点に高さ 60 m、堤頂長 297 m の中空式重力ダムを築造し、このダムより総貯水量 150,440,000 m<sup>3</sup> を湛え、この内有効貯水量 116,000,000 m<sup>3</sup> を利用して空知川・石狩川流域約 362.4 km<sup>2</sup> (36,635 町歩) の灌漑を行なうとともに、ダム直下に発電所を新設し年間 56,210,000

KWH の電力を開発し、同時に夏期洪水期間においては貯水位を一定値以下に制限し、これによつて洪水量を貯留し、計画洪水量 1,000 m<sup>3</sup>/sec を最大放流量 240 m<sup>3</sup>/sec に調節して、下流の洪水被害を軽減せんとするものである。

本ダム地点付近の基礎岩は輝緑岩よりなつており、河川流路の幅は約 40 m でその河床には風化岩が露出し、またところどころに砂礫の堆積が認められ水叩きの下流は洗掘される可能性が考えられる。

堰堤の設計概要は、図-1 に示すようにその諸元はつきのとおりである。

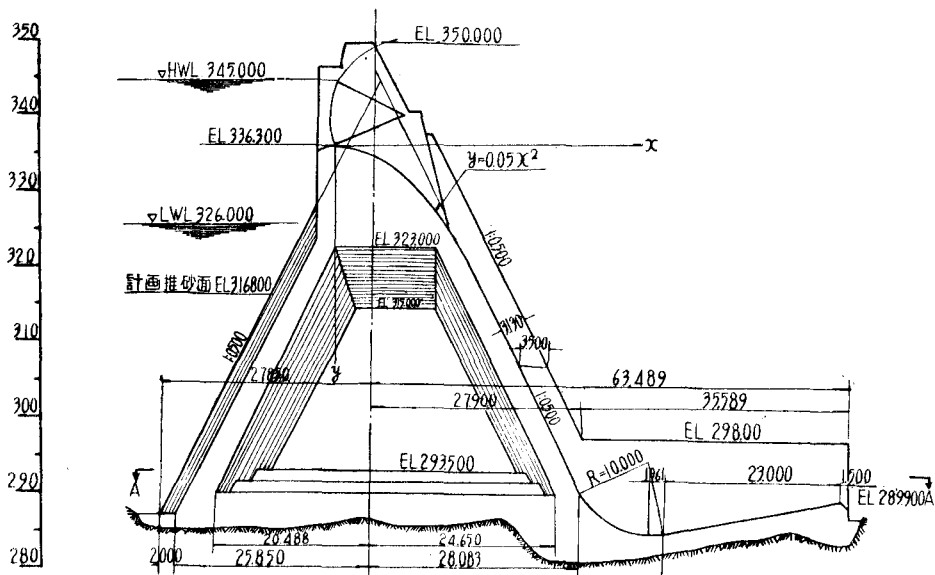


図-1 ダム越流部横断面図

型式	可動扉付越流型中空式重力コンクリートダム	門扉	テンターゲート、2門(高さ 8.7 m × 幅 11.0 m)
堰堤高	60 m		
堤頂高	297 m		
堤体積	234,000 m <sup>3</sup>		

## II. 実験設備および模型

実験の模型縮尺はできるだけ大きい方が望ましいが、

実験場の広さと使用しうる実験用流量などの制約を受けるため、模型は堰堤および河川部共縦横縮尺共1/40に製作した。堰体部はコンクリートブロック積とし、余水路の表面はモルタル砥石仕上げとした。河川部は下流約200mの区域を取り入れ模型の河状は表面モルタル粗面

仕上げとし固定河床とした。また後で移動河床となしするように水叩き末端より矩形のモルタル部分を製作しておいた図-2にそれを示す。

ダムより上流の地形は比較的影響少なきものと考え、実験の都合で製作を省略した。

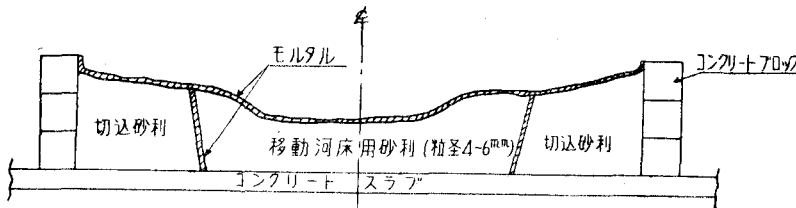


図-2 下流河川部模型製作標準図

### III. 実験の目的

本実験においては洪水時の堰堤越流による下流河床洗掘状態を観察し、河床洗掘を軽減せしめるに必要な工法を求めるのが主目的である。

洪水時の堰堤越流により水は高速射流となり、このままでは河床はたちまちにして洗掘されてしまう。したがつて河床洗掘軽減の対策としては一般に跳水を起こさせて流れを常流状態にしてしまう方法と、射流のまま遠方へ飛ばし洗掘箇所を堤体から遠く離す方法と考えられる。

本実験ではこの二方法について比較実験を行ない、主としてつきの点について検討を行なつた。

#### 1. 逆傾斜水叩きによる検討

堰堤越流による高速射流を完全跳水させ、水叩上において常流に復帰させて、河床洗掘を軽減せしめる形状を検討する。

#### 2. 放射式水叩きによる検討

放射された水流の堤体末端からの飛躍距離、および洗掘の傾向についての観察。

#### 3. 導流壁の高さに対する検討

計画越流量を放流した場合導流壁の高さが充分か否かの検討。

### IV. 相似律

幾何学的に相似な形状を有する、二種以上の物体の相似境界面の周りの流水を力学的に完全に相似にすることは現在の実験では不可能と思われるから、この場合影響が大きいと思われる Froude 数を実物と模型とで一致させることにした。摩擦抵抗法則は Manning の公式を使って決定した。

以上のように Froude の相似律によつて決定された、模型の諸縮尺は表-1 のようである。

表-1

基 本 量	縮 尺	
長さまたは水深	$\alpha$	1/40
面 積	$2^2$	1/1,600
体 積	$2^3$	1/64,000
流 速	$2^{1/2}$	1/6.325
流 量	$2^{5/2}$	1/10,119
圧 力 の 強 度	2	1/40
粗 度	$2^{1/6}$	1/1.85

### V. 水理条件

#### 1. 実験流量

計画最大放流量  $240 \text{ m}^3/\text{sec}$  (模型流量  $23.72 \text{ l/sec}$ ) (これは確率計算による 100 年洪水量、 $1,000 \text{ m}^3/\text{sec}$  のときの放流量である) および (計画放流量の  $1/2$  流量  $120 \text{ m}^3/\text{sec}$  (模型流量  $11.86 \text{ l/sec}$ ) の二種について実験を行なうこととした。

#### 2. 下流水位

ダムを越流下する洪水量に対する減勢工を設計する場合最も大切なものの一つとして、余水路を流下していく流量と、ダム直下流付近の河川水位が重要な問題になる。この種の資料はあらゆるダムの計画に際しても的確なものが乏しいのがほとんどである。本例でも的確な資料がなく、昭和 28 年から昭和 30 年の 3 カ年間、堤軸線から下流約 400m の地点における、水位一流量観測資料がある、図-3 にこの結果を示す。

これらの水位一流量曲線は各年度により異なつてゐるので、減勢工を設計する場合自然河川水位が低い方を取るのが安全と考えられるので、昭和 30 年の水位一流量

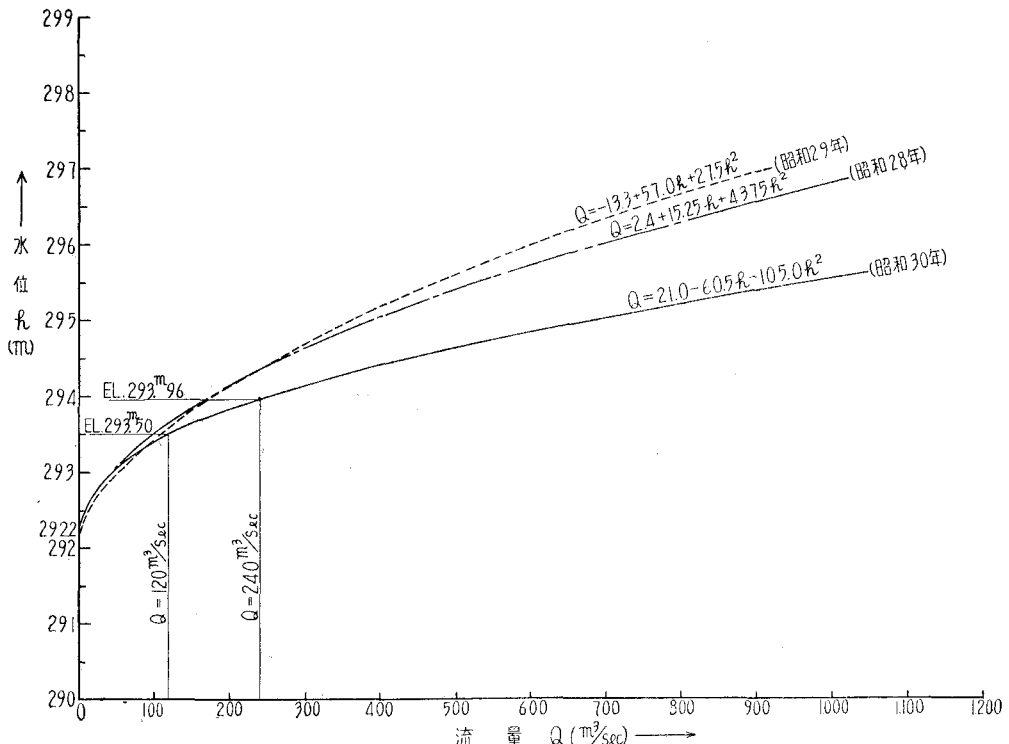


図-3 ダム下流部自然河川の水位一流量図

曲線を採用することにした。以上の関係を調べると、計画放流量  $240 \text{ m}^3/\text{sec}$  の水が放流された場合自然河川水位は EL. 293.96 m で、 $120 \text{ m}^3/\text{sec}$  の場合は EL. 293.50 m である。

## VI. 逆傾斜水叩きの水理

### 1. 概説<sup>1)</sup>

逆傾斜水路上に起こる跳水には二つのはつきりした制約がある。第一の制約の跳水は逆傾斜面上では始まり得ないということ。第二の制約は 図-4 の  $l_w$  が与えられ

逆傾斜勾配の終端で跳水が終る基本型 図-5について、運動量方程式を検査面 I, II に閉まれた流体部分に適用

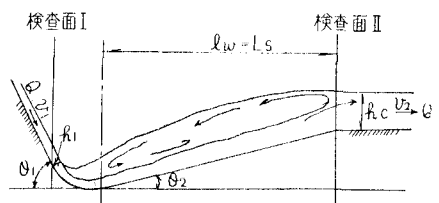


図-5 逆傾斜水叩き基本型

しているが、つぎのような仮定を設けている。

1) 跳水長  $l_w$  は Bucket curve 終点より Roller の終点までの水平方向に測った長さとする。

2) 検査面 I, II においては平均流速および静水圧分布を考えるものとする。

3) 逆傾斜面上に乗る跳水の縦断方向の面積を梯形と考える。

4) Bucket 面に働く遠心力の水平方向の成分  $P_r$  はつぎのように考える。

$$P_r = m \cdot \rho q v_1 (1 - \cos \theta_1)$$

ただし  $m$ : 実験係数

$\rho$ : 水の比重

$q$ : 単位幅当りの流量

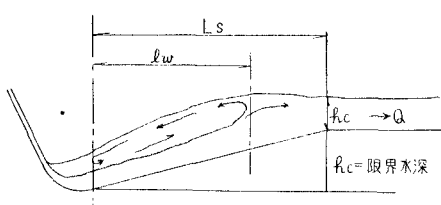


図-4

た  $L_s$  に対する最少の渦長であつて、これより  $Q$  を減少するか、または  $Q$  を一定にして  $L_s$  を増加すると水深を増加しないかぎり  $Q$  を流し切れなくなり、したがつて下流側常流水深の余分にある潜流の形となつてしまいエネルギー減殺効果がおとろえてくるということである。

5) 境界面との摩擦力は無視する。

以上のように仮定にもとづいて運動量方程式を立て、  
つぎのような跳水公式を導いた。

$$R_h^3 - \left\{ \frac{2m\lambda_1(1-\cos\theta_1) + 2\lambda_1\cos\theta_1 + 1}{nf(\lambda)\sin 2\theta_2 + 1} \right\} \cdot R_h \\ + \frac{2\lambda_1}{nf(\lambda)\sin 2\theta_2 + 1} = 0 \quad \dots \dots \dots \quad (1)$$

ただし  $R_h = h_2/h_1$

$\lambda_1 = v_i^2/gh_1$ : 流入射流の Kinetic flow factor

$m$ : Bucket 面圧力に関する実験係数  
 $n$ : 跳水形状の幾何学的相似を考えうる  
ものとした実験係数

$f(\lambda)$ :  $l_w/h_2$  を  $\lambda_1$  の函数で表らわしたもの  
 $\theta_1$ : ダム越流面と水平面とのなす角度  
 $\theta_2$ : 逆傾斜水叩き面と水平面とのなす角  
度

与えられた下流水位が水平水叩きの跳水には足りない場合、逆傾斜によつて下流水位に丁度一致した完全跳水を起こさせることができる。この場合の実験結果は

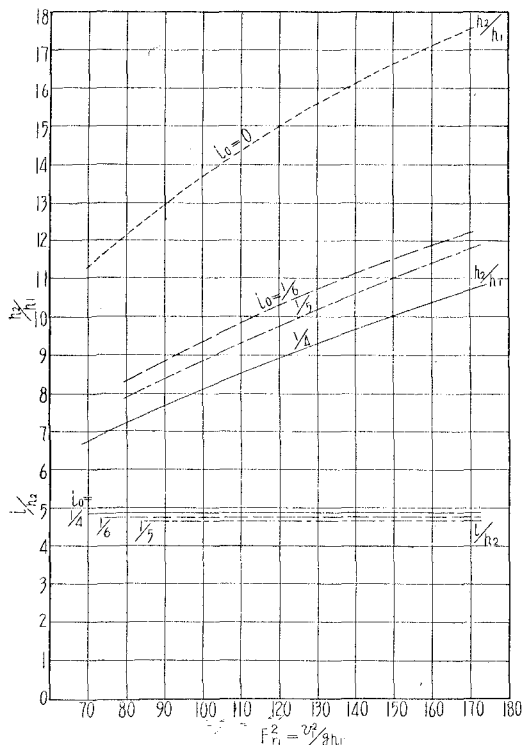


図-6 逆傾斜水叩きの跳水特性 (岡田・安芸による)

図-6<sup>2)</sup> のとおりであつて、必要な跳水長を大いに減少することができる。

## 2. 水叩きの設計

本ダムにおいて諸元はつぎのとおりである。

越流天端高: EL 336.3 m

計画満水位: EL 345.0 m

最大越流量:  $Q = 240 \text{ m}^3/\text{sec}$

越流水深:  $h = 345.0 - 336.3 = 8.7 \text{ m}$

堰堤高:  $D = 336.3 - 288.0 = 48.3 \text{ m}$

越流面コンクリートの粗度係数:  $C_0 = 0.02$

水叩きの幅:  $B = 2 \times 11.0 + 2.5 = 24.5 \text{ m}$

単位幅当りの越流量:  $q = \frac{Q}{B} = 9.8 \text{ m}^3/\text{sec}$

逆傾斜勾配を  $S = 1/5$  とすれば、(1)式の実験係数は実験結果<sup>3)</sup> よりつぎのとおりになる。

$m = 1.13$ ,  $n = 0.87$ ,  $f(\lambda) = l_w/h_2 = 4.67$

ここで射流水深  $h_1$  については厳密には水平水叩き始端の射流水深と一致はしないがほとんど変りなく、且つその差は近似式の誤差内に含まれると考えられるので同一とする。

$$h_1 = q / \sqrt{2g(D+h)} \cdot (1 - C_0 D/h) \\ = 9.8 / \sqrt{2 \times 9.8 \times (48.3 + 8.7)} \times (1 - 0.02 \times 48.3 / 8.7) \\ \approx 0.314 \text{ m}$$

$$\lambda_1 = F_i^2 = (v_i / \sqrt{gh_1})^2 = q^2 / gh_1^2 = 9.8^2 / 9.8 \times 0.314^2 \approx 310$$

$$\theta_1 = 63^\circ \sim 26', \theta_2 = 22^\circ \sim 38'$$

(1)式に各値を代入

$$R_h^3 - \left\{ \frac{2 \times 1.13 \times 310 \times (1 - \cos 63^\circ \sim 26')}{0.87 \times 4.67 \times \sin 22^\circ \sim 38' + 1} + 2 \times 310 \times \cos 63^\circ \sim 26' + 1 \right\} \cdot R_h \\ + \frac{2 \times 310}{0.87 \times 4.67 \times \sin 22^\circ \sim 38' + 1} = 0$$

$$\therefore R_h^3 - 260R_h + 242 = 0$$

上式より  $R_h$  を計算すれば  $R_h = 15.6$

$$\therefore h_2 = R_h \cdot h_1 \approx 4.90 \text{ m}$$

$$\text{また } l_w = f(\lambda) \cdot h_2 \approx 23.0 \text{ m}$$

以上から逆傾斜水叩き部終端の高さは自然下流河川水位より 4.90 m 低く取る、すなわち EL 289.90 m となる。したがつて  $S = 1/5$  で水叩き長さを  $l_w = 23.00 \text{ m}$  とする。

## VII. 放射式水叩きの設計

Jet を放出する Flip Bucket 型式を採用した場合の設計について述べる。

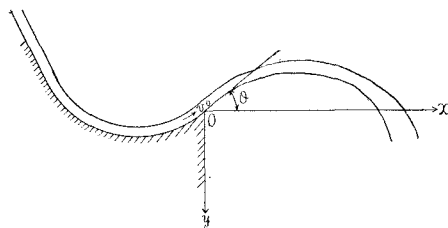


図-7



落下点では

$$\mu = \frac{y}{H-h} = \frac{5.34}{28.4} = 0.187$$

となる。(4)式に上記の値を代入して+符号をとすると、

$$\lambda = \frac{\tan 45^\circ + \sqrt{\tan^2 45^\circ + \frac{1}{\cos^2 45^\circ} \times 0.187}}{\frac{1}{2\cos^2 45^\circ}} \approx 2.17$$

したがつて

$$x = (H-h) \cdot \lambda \approx 62 \text{m}$$

をうる。この地点はダム下流仮締切よりさらに下流にあつて充分安全と思われる所以以上の Flip Bucket 型式を採用し実験を行なうこととする。

### VIII. 水叩き形状に関する実験

#### 1. 逆傾斜水叩きの実験

##### i) 実験方法

ダム直下流河川の洗掘状態の模型実験は、種々行なわれているが実際の河床は場所により強弱は一様でなく、現場の状態と力学的に相似にすることは不可能であり、いまのところある粒径の砂利を推定し移動河床として、洗掘の傾向を知る実験が多いようである。

本実験においては、まず固定河床により、水位・流向・流速などを測定するとともに模型における掃流力により、移動されうる砂利を算定し(粒径 4~6 mm), 水叩き末端より下流に横断型板に沿つて敷き均し移動河床とした。もとより以上の二方法によつても洗掘状況を定性的に知るにとどまるのである。

移動河床の実験における、越流継続時間は河床洗掘に對して重要な要素となるが、洗掘の傾向を推測するのが目的であるから、模型河床材料の移動が終了したとみられる時間として、各実験一様に 20 分とした。

##### ii) 固定河床による実験

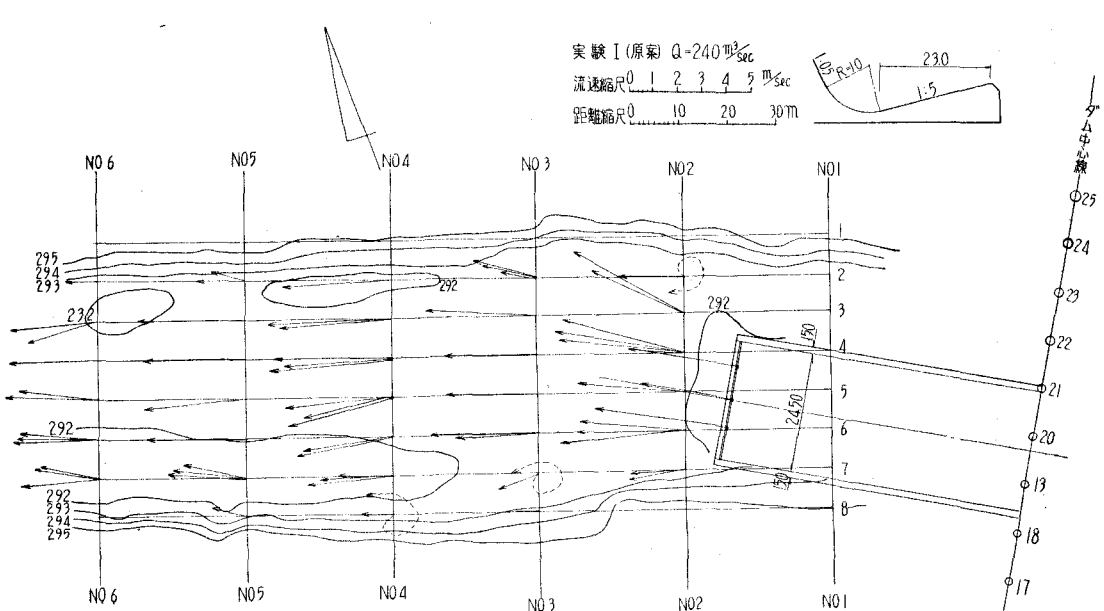
実験 I, 原案につき、流量  $240 \text{ m}^3/\text{sec}$  および  $120 \text{ m}^3/\text{sec}$  の二種について行なつた。水叩きより下流部の水位・流向・流速を測定した。その結果は 図-10 より 図-15 のようである。この結果よりみて、水叩き内で跳水現象が完了し放流された水の一部は、右岸側に集中しているが、他はほぼ均等な流れを示し最大流速  $5.0 \text{ m/sec}$  程度である。

実験 II, 原案の水叩き末端に高さ  $2.0 \text{ m}$  の堰を設けた結果は 図-16 のようである。この結果よりみて、流れの状態は原案と大差はないが、各測線の最大流速は全般的に大きくなっているようであり、水叩きより放出された水流は、流速  $6.0 \text{ m/sec}$  程度となつてゐる。

実験 III, 原案の水叩き末端に高さ  $3.0 \text{ m}$  の堰を設けた結果は 図-17 のようである。堰の高さを  $3.0 \text{ m}$  にしても実験 II となんら変わらない流況を示している。

実験 II および III の端末堰を設けた理由として、ダム下流面にかかつて水位を多少でも上げることができれば、跳水はもつと定安するだらうとの考えであつたが、水位が上昇したため、水叩き内で潜流が生じ、堰を越える時流速が大となるものと考えられる。

以上の結果から原案が最も下流河川に対して、良好なる水叩きと思われる。



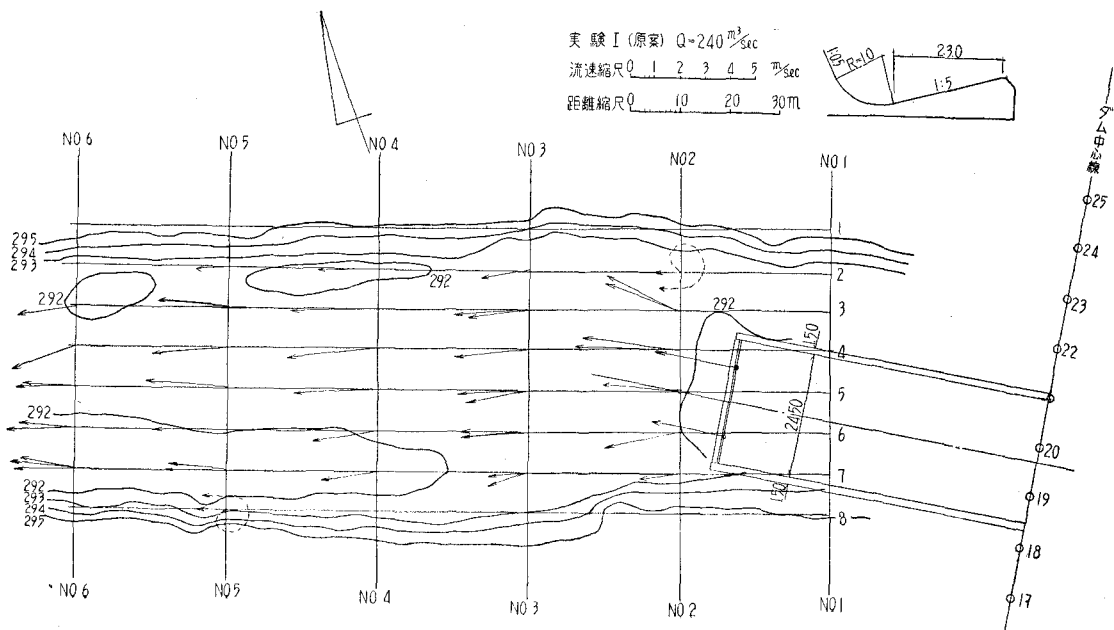


図-11 下流断面最大流速および流向図

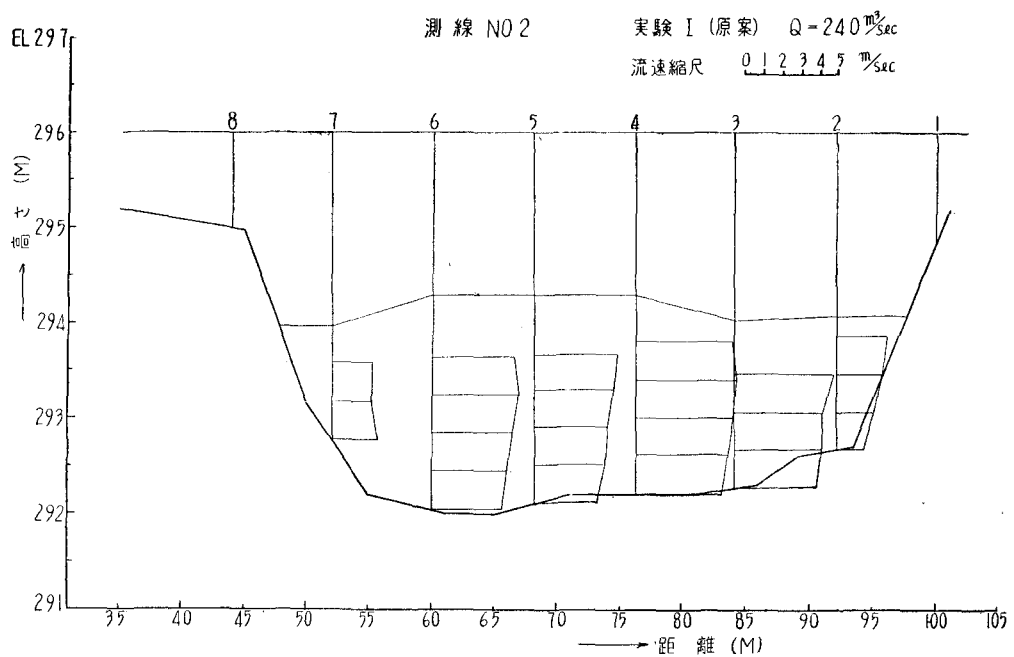


図-12 下流断面流速分布図

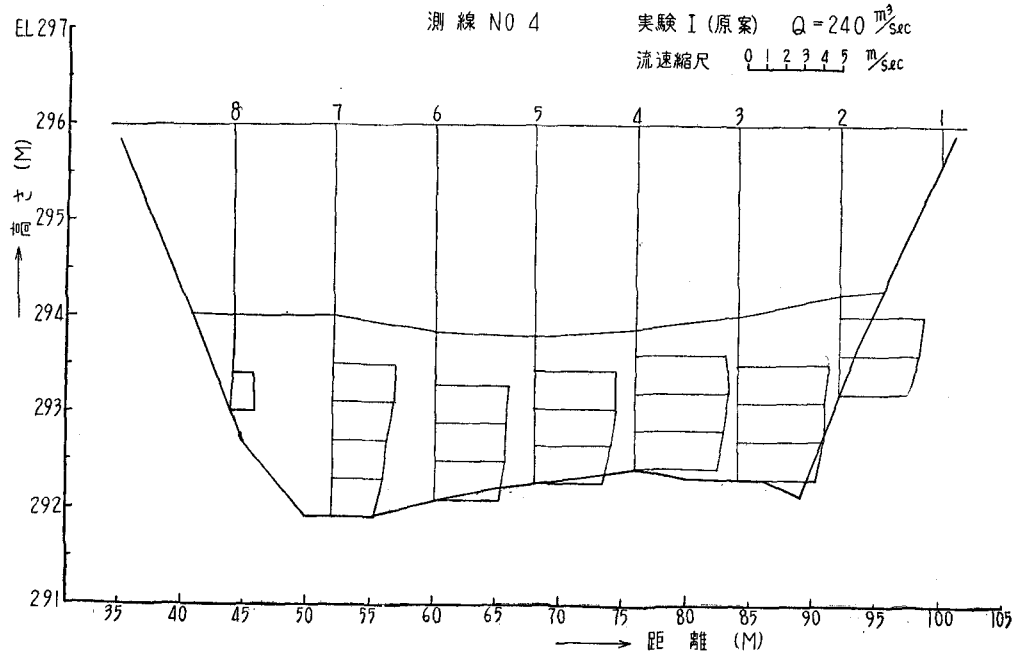


図-13 下流断面流速分布図

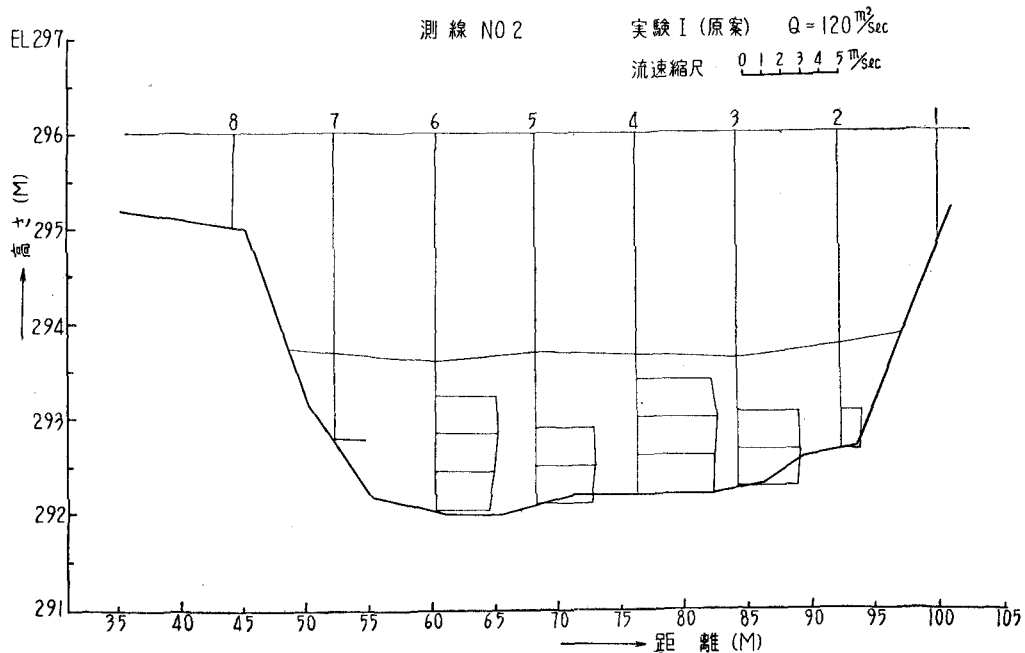


図-14 下流断面流速分布図

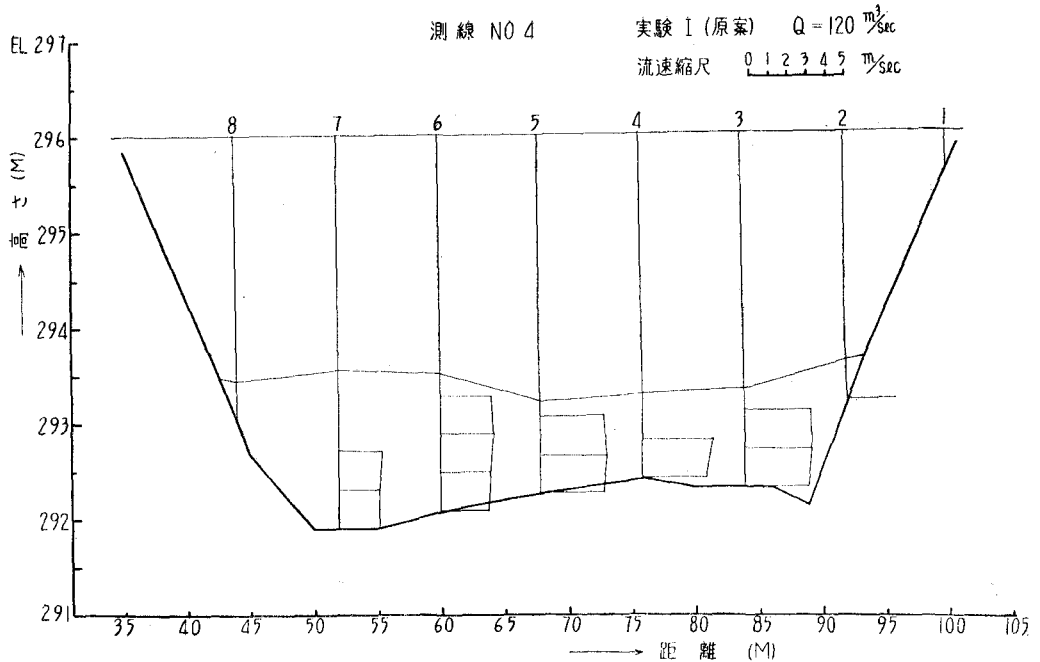


図-15 下流断面流速分布図

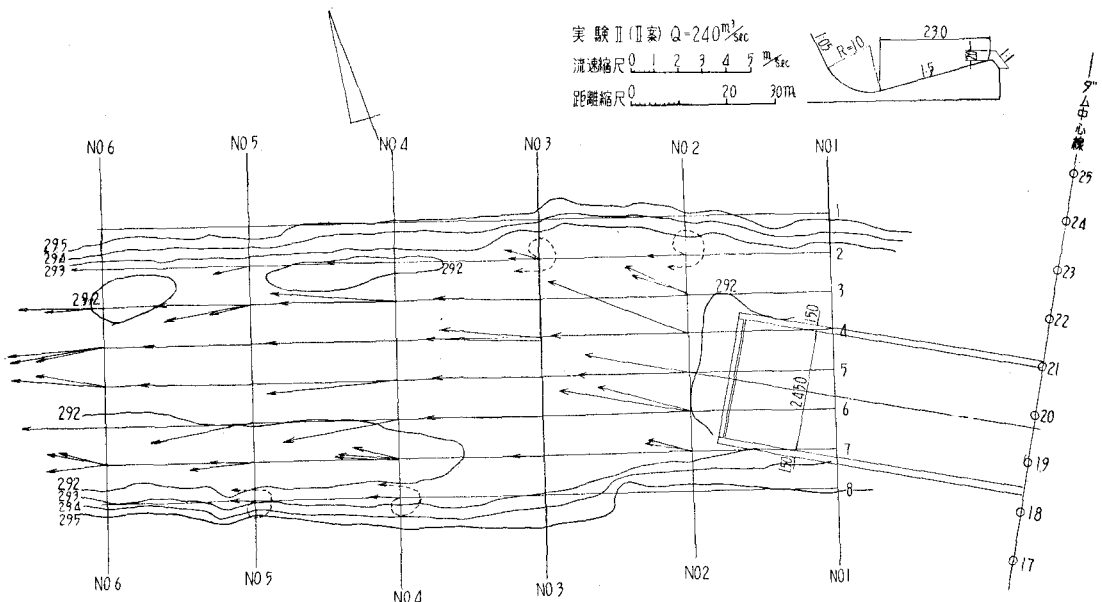


図-16 下流断面最大流速および流向図

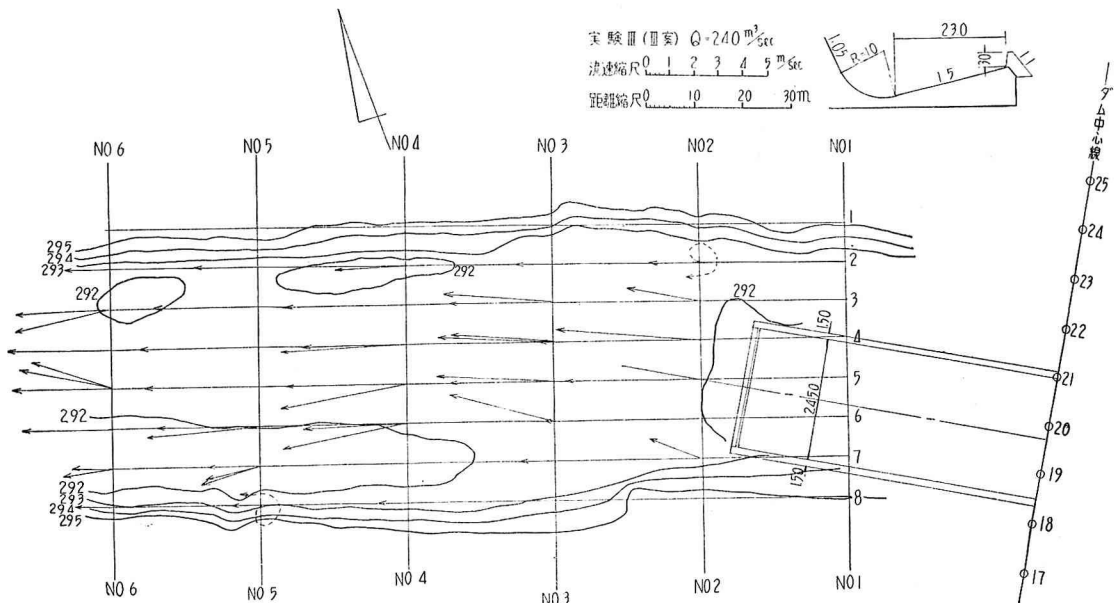


図-17 下流断面最大流速および流向図

### iii) 移動河床による実験

判定資料を得るために、20分間通水した後下流河川の洗掘状態を示す等高線を入れ写真撮影を行なつた。実験の種類は表-2 のとおりである。

表-2 洗掘実験一覧表

形式	実験号	流量 (m³/sec)	水叩き内構造物形状	写真番号	摘要
I案	A-10	240	なし	写真-2	逆傾斜勾配 $1/5$
II案	A-11	240	阻柱高1.5m一列	" -3	"
III案	A-12	240	" 1.5m 千鳥	" -4	"
IV案	A-15	240	端末堰2.0m	" -5	"
V案	A-18	240	" 3.0m	" -6	"

写真-1より写真-6まではこれら5案に対する、洗掘深の等高線を示している。等高線の数字は模型の深さを現地の深さに換算したもので、勿論定性的判断の比較のため現地の実際の洗掘深を示すものではない。

以上の結果から比較してみるとI案からV案までの洗掘の傾向は、水叩き末端から50m程度は同じような傾向を示し、それより下流については現河川とそれ程著な変り方はしないようである。写真結果から判定しても固定河床と同様原案が下流河川に対して良好なる水叩きと推定できる。

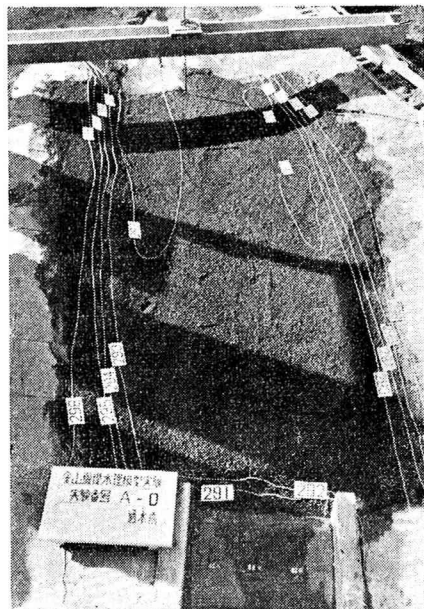


写真-1 通水前現地河床状況

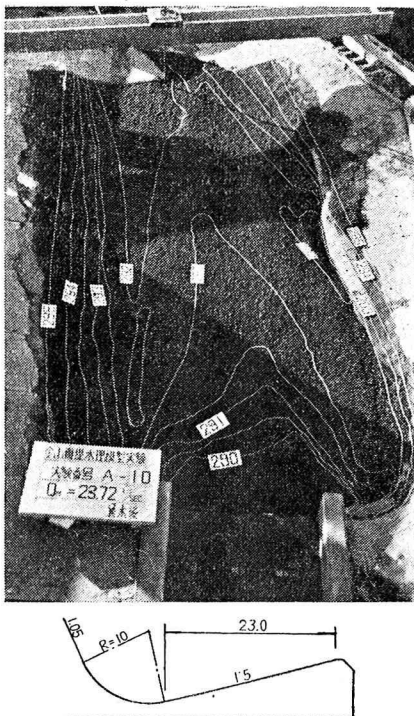


写真-2 形式Ⅰ案における河床洗掘状況

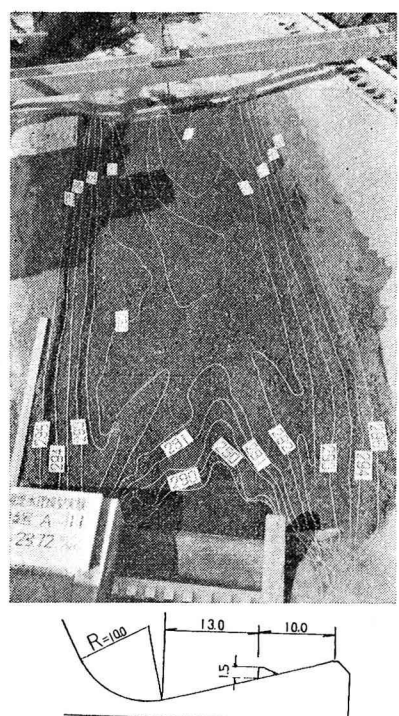


写真-3 形式Ⅱ案における河床洗掘状況

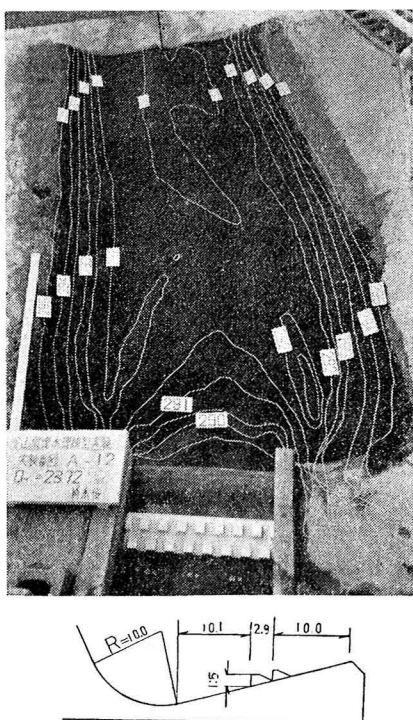


写真-4 形式Ⅲ案における河床洗掘状況

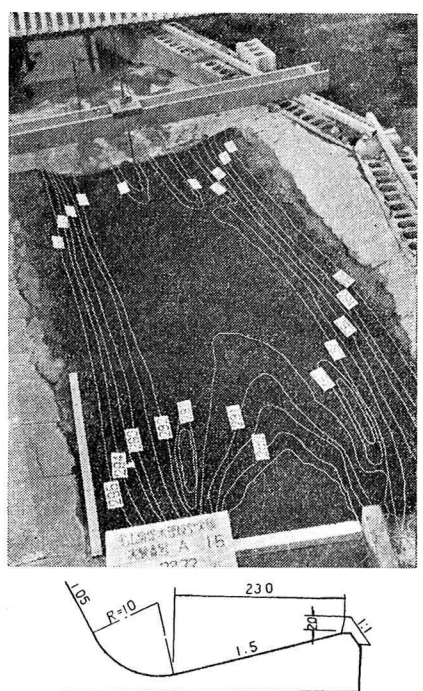


写真-5 形式Ⅳ案における河床洗掘状況

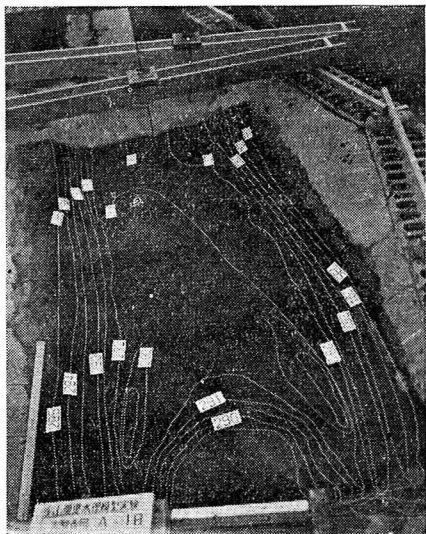
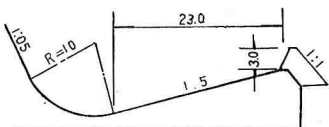


写真-6 形式V案における河床洗掘状況



#### iv) 導流壁の高さに対する検討

原案に対する導流壁の高さが、計画放流量  $240 \text{ m}^3/\text{sec}$  を放流した場合、充分かどうか水叩き内の水位を測定した、その結果は図-18 このようになる。の結果からわかるように水叩き内の波立ちを考慮しても、原案より  $2.0 \text{ m}$  低くして EL 296.0 m 程度あれば充分と考える。

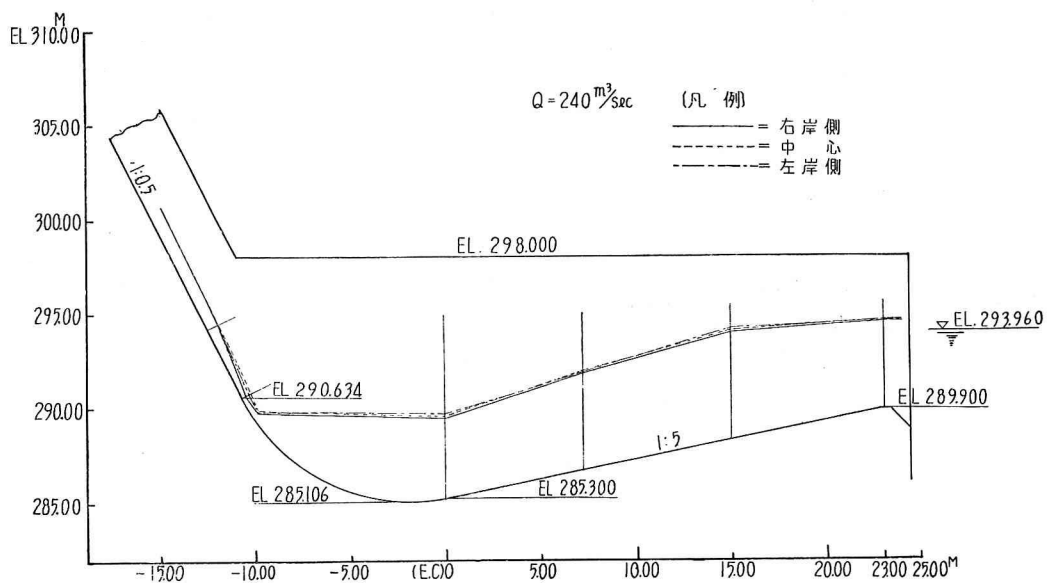


図-18 水叩き部の水位図

## 2. 放射式水叩きの実験

### i) 実験方法

放射式水叩きの実験方法としては、下流河川の流速・流向などの測定、放射水落下点の圧力分布の測定、移動河床による洗掘の傾向など種々の実験方法があると思うが、本実験では金山ダムにおいて、かのような形式が採用可能か否かの判定資料とするためであるので、下流河川は移動床(砂利の粒径  $4\sim6 \text{ mm}$ )とし、越流量  $240 \text{ m}^3/\text{sec}$ 、越流時間は 15 分とした。

### ii) 移動河床による実験

VII 放射式水叩きの設計、のところで述べた形状について実験することにした。既定時間通水した後、下流河川の洗掘状態を示す等高線を入れ写真撮影によつた。実験の種類は、下流河川を現状とした場合と測線 No. 5 に副ダム(天端高 EL 294.0 m)を設置した場合との二種について行なつた。

写真-7 より写真-9 はこれらに対する流況および洗掘



写真-7 Flip Bucket 水叩きにおける流況

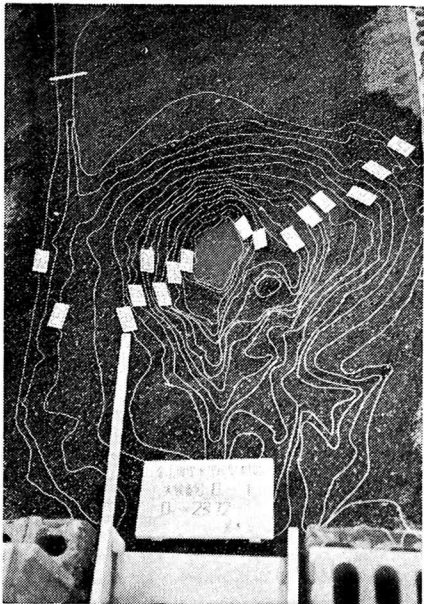


写真-8 現地河床状況において通水後の河床洗掘状況

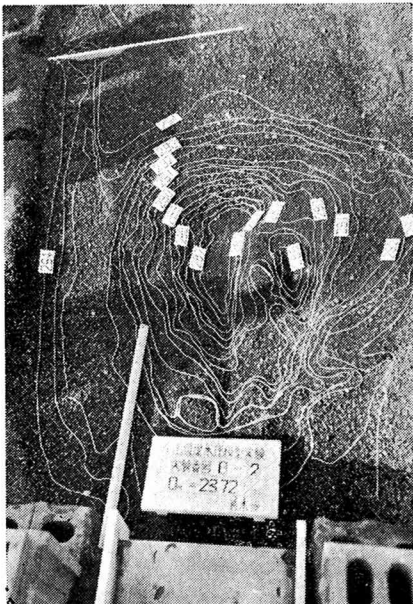


写真-9 測線 No.5 に副ダム (EL 294.0m) 設置通水後の河床洗掘状況

深の等高線を示している。勿論等高線の数字は模型の深さを現地に換算したものである。写真-7 から知られるように放射水の落下点付近が相当洗掘され water cushion となつてエネルギーがある程度減殺されても、相当下流まで乱流となり、また右岸側に渦流が生じ河岸の洗掘がはげしい。写真-8 および写真-9 と比較すると、副ダムを設置し、下流水位を上げても洗掘の傾向および洗掘深度は変わらないようである。水叩き末端より 63 m 付近

では、非常に極端な洗掘をうけ、当初の計算値とほぼ等しい飛躍距離を示した。

以上の結果から、かような形式を採用するとなれば、水流の落下点付近を掘削して、water cushion とともに、河床河岸の保護を充分にしなければならない。殊に発電所の建設予定位置である右岸側の保護には充分注意しなければならないであろう。

## IX. 結語

以上の実験結果についてつぎの結論をえた。

### 1. 逆傾斜水叩きについて

水叩きの形状は計画どおりのものが一番下流河川に対しては良好のようであり、水叩きの長さは計算によつて求めた長さで充分と考える。水叩き末端から下流の最大流速は 5.0 m/sec 以上となるので、将来洗掘が進めば洗掘防止のため、適当な河床保護工を施す必要がある。

### 2. 導流壁の高さについて

現計画の高さは EL 298.0 m であるが、2.0 m 低くし EL 296.0 m あれば充分と考える。これは計画放流量 240 m<sup>3</sup>/sec の自然下流水位 EL 293.96 m より、約 2.0 m の余有高となる。

### 3. 放射式水叩きについて

本型式は非常に大きな洗掘力を示し、金山のような下流水位の低いところでは不適と考える。もしかような型式を採用するとなれば、水脈落下点付近のエネルギーを減殺するような工法を特に工夫する必要があろう。水脈の飛躍距離は計算値とほぼ等しい値を示すようである。

### 4. その他

門扉の操作に当つて、減水などのため下流水位が計算上必要な水位に達していない場合には、徐々に流量を増してゆき、減勢能力を越える流量を一時的に放流することは絶対避けなければならない。もし放流量が一時的にでも減勢能力を越えると跳水は下流に吹き飛び逆傾斜面が露出射流となつてしまい、下流河川やその他の構造物にいちじるしい災害を引き起すことになるから注意を要する。逆傾斜水叩きとしての跳水機能は当然水平水叩きおよび Bucket 型水叩きと異なる。したがつて逆傾斜の上限および下限の限界の勾配があると考えられるので、この方面的研究も今後の問題点と思う。

終りに実験を行なうに当つて石狩川治水事務所の各位より戴いた御協力を深く感謝する。

## 参考文献

- 1) 岡田篤也・安芸周一：逆傾斜水路における跳水現象の実験的研究、電力技術研究所所報、Vol. 5 : No. 6 1955 年。
- 2) 石原藤次郎・本間仁：応用水理学 中 II, 丸善。
- 3) 前出 1)。
- 4) 石原藤次郎・本間仁：応用水理学 中 I, 丸善。